

**La clase pasada vimos:**

Ecuación de Wannier.

Excitones de Wannier

**En esta clase veremos:**

- Cálculo de la polarización interbanda en el problema de excitación óptica de pares electrón-hueco.
- Susceptibilidad óptica electrón-hueco.
- Coeficiente de absorción.
- Espectros de absorción en el borde la banda (band-edge absorption spectrum).

Polarización interbanda

$$\left[ \hbar(\omega + i\delta) - E_g + \frac{\hbar^2 \nabla_{\mathbf{r}}^2}{2m_r} + V(r) \right] P_{vc}(\mathbf{r}, \omega) = -d_{cv} \mathcal{E}(\omega) \delta(\mathbf{r}) L^3$$

$$-\left[ \frac{\hbar^2 \nabla_{\mathbf{r}}^2}{2m_r} + V(r) \right] \psi_{\nu}(\mathbf{r}) = E_{\nu} \psi_{\nu}(\mathbf{r})$$

Ecuación de Wannier

REPASO

# Solución de la ecuación de Wannier

Radio de Bohr renormalizado:

$$a_0 = \frac{\hbar^2 \epsilon_0}{e^2 m_r}$$

Rydberg renormalizado:

$$E_0 = \frac{\hbar^2}{2m_r a_0^2} = \frac{e^2}{2\epsilon_0 a_0} = \frac{e^4 m_r}{2\epsilon_0^2 \hbar^2}$$

Las soluciones **ligadas** son los **excitones de Wannier**

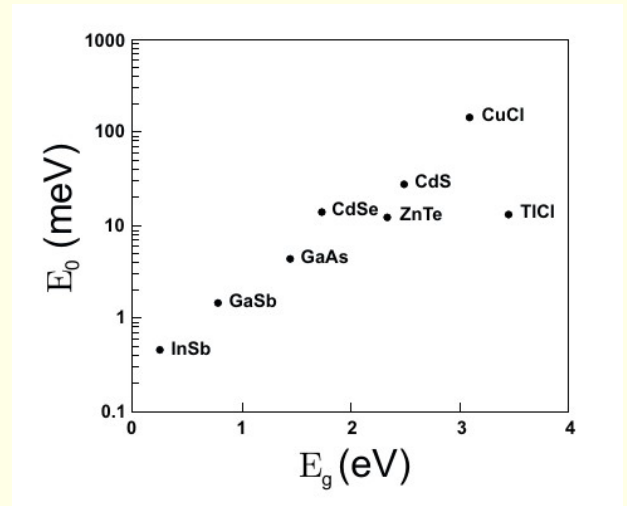
$$E_n = -E_0 \frac{1}{n^2} \quad \text{with } n = 1, 2, \dots$$

3D exciton bound-state energies

$$E_n = -E_0 \frac{1}{(n + 1/2)^2} \quad \text{with } n = 0, 1, \dots,$$

2D exciton bound-state energies

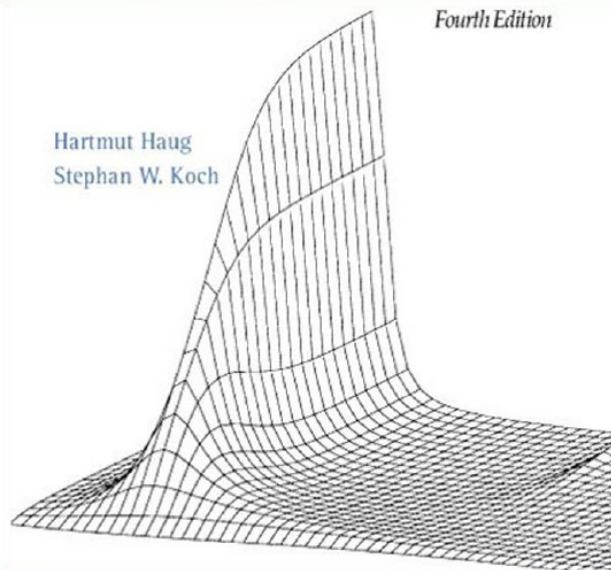
Binding energy experimental



*Quantum Theory of the  
Optical and Electronic  
Properties of Semiconductors*

Fourth Edition

Hartmut Haug  
Stephan W. Koch



World Scientific

10. Excitons 163

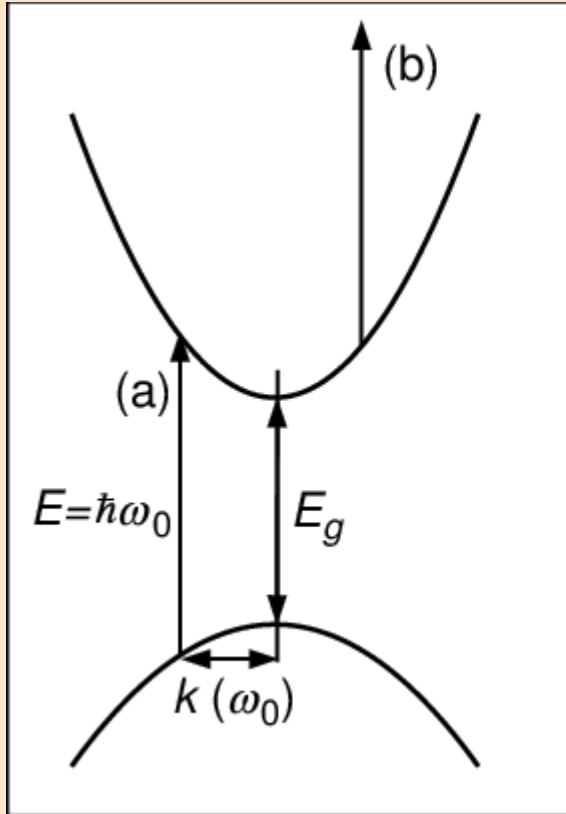
10.1 The Interband Polarization . . . . .	164
10.2 Wannier Equation . . . . .	169
10.3 Excitons . . . . .	173
10.3.1 Three- and Two-Dimensional Cases . . . . .	174
10.3.2 Quasi-One-Dimensional Case . . . . .	179
10.4 The Ionization Continuum . . . . .	181
10.4.1 Three- and Two-Dimensional Cases . . . . .	181
10.4.2 Quasi-One-Dimensional Case . . . . .	183
10.5 Optical Spectra . . . . .	184
10.5.1 Three- and Two-Dimensional Cases . . . . .	186
10.5.2 Quasi-One-Dimensional Case . . . . .	189

12. Semiconductor Bloch Equations 211

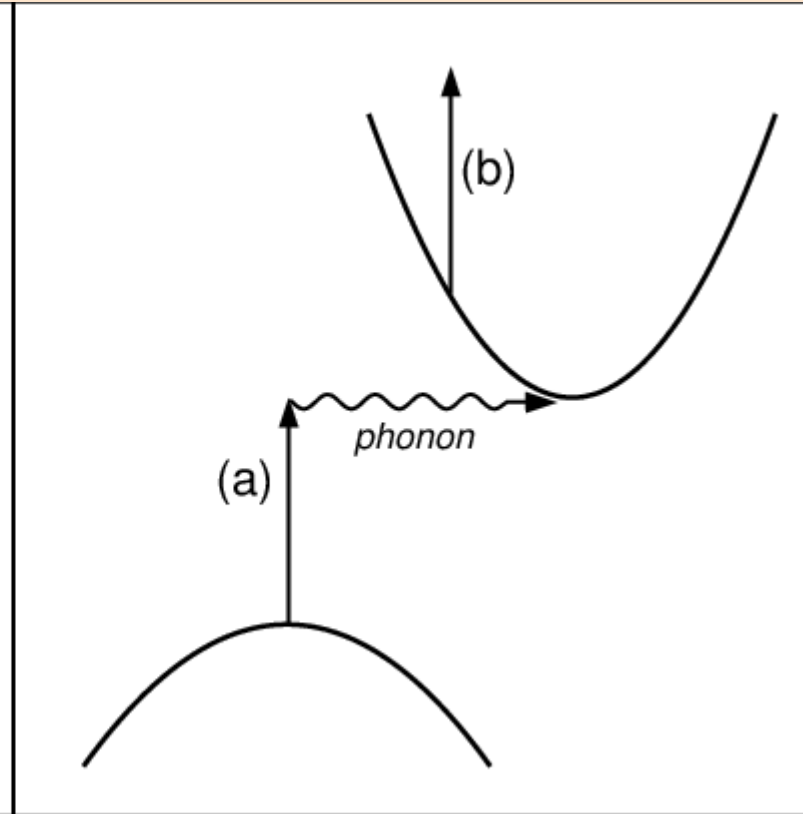
# **Espectros ópticos de semiconductores**

# Transiciones ópticas en semiconductores

Band gap directo:



Band gap indirecto:



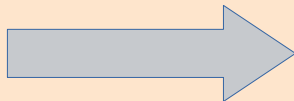
## Polarización interbanda

Retomamos la ecuación inhomogénea de la polarización:

$$\left[ \hbar(\omega + i\delta) - E_g + \frac{\hbar^2 \nabla_{\mathbf{r}}^2}{2m_r} + V(r) \right] P_{vc}(\mathbf{r}, \omega) = -d_{cv} \mathcal{E}(\omega) \delta(\mathbf{r}) L^3$$

Tratamos de expresar sus soluciones en términos de los autoestados y autofunciones de la ecuación de Wannier:

$$-\left[ \frac{\hbar^2 \nabla_{\mathbf{r}}^2}{2m_r} + V(r) \right] \psi_{\nu}(\mathbf{r}) = E_{\nu} \psi_{\nu}(\mathbf{r})$$




$$P_{vc}(\mathbf{r}, \omega) = \sum_{\nu} b_{\nu} \psi_{\nu}(\mathbf{r})$$

## Polarización interbanda

$$\left[ \hbar(\omega + i\delta) - E_g + \frac{\hbar^2 \nabla_{\mathbf{r}}^2}{2m_r} + V(r) \right] P_{vc}(\mathbf{r}, \omega) = -d_{cv} \mathcal{E}(\omega) \delta(\mathbf{r}) L^3$$

$$P_{vc}(\mathbf{r}, \omega) = \sum_{\nu} b_{\nu} \psi_{\nu}(\mathbf{r})$$

Reemplazando y haciendo  $\int d^3 r \psi_{\mu}^*(\mathbf{r}) \dots$


$$\sum_{\nu} b_{\nu} [\hbar(\omega + i\delta) - E_g - E_{\nu}] \int d^3 r \psi_{\mu}^*(\mathbf{r}) \psi_{\nu}(\mathbf{r}) = -d_{cv} \mathcal{E}(\omega) L^3 \psi_{\mu}^*(\mathbf{r} = 0)$$



## Polarización interbanda

$$\sum_{\nu} b_{\nu} [\hbar(\omega + i\delta) - E_g - E_{\nu}] \underbrace{\int d^3r \psi_{\mu}^*(\mathbf{r}) \psi_{\nu}(\mathbf{r})}_{\delta_{\mu,\nu}} = -d_{cv} \mathcal{E}(\omega) L^3 \psi_{\mu}^*(\mathbf{r} = 0)$$



$$b_{\mu} = -\frac{d_{cv} L^3 \psi_{\mu}^*(\mathbf{r} = 0)}{\hbar(\omega + i\delta) - E_g - E_{\mu}} \mathcal{E}(\omega)$$

$$P_{vc}(\mathbf{r}, \omega) = \sum_{\nu} b_{\nu} \psi_{\nu}(\mathbf{r})$$



$$P_{vc}(\mathbf{r}, \omega) = -\sum_{\nu} \mathcal{E}(\omega) \frac{d_{cv} L^3 \psi_{\nu}^*(\mathbf{r} = 0)}{\hbar(\omega + i\delta) - E_g - E_{\nu}} \psi_{\nu}(\mathbf{r})$$

## Polarización interbanda

$$\sum_{\nu} b_{\nu} [\hbar(\omega + i\delta) - E_g - E_{\nu}] \underbrace{\int d^3r \psi_{\mu}^*(\mathbf{r}) \psi_{\nu}(\mathbf{r})}_{\delta_{\mu,\nu}} = -d_{cv} \mathcal{E}(\omega) L^3 \psi_{\mu}^*(\mathbf{r} = 0)$$



$$b_{\mu} = -\frac{d_{cv} L^3 \psi_{\mu}^*(\mathbf{r} = 0)}{\hbar(\omega + i\delta) - E_g - E_{\mu}} \mathcal{E}(\omega)$$

$$P_{vc}(\mathbf{r}, \omega) = \sum_{\nu} b_{\nu} \psi_{\nu}(\mathbf{r})$$



$$P_{vc}(\mathbf{r}, \omega) = -\sum_{\nu} \mathcal{E}(\omega) \frac{d_{cv} L^3 \psi_{\nu}^*(\mathbf{r} = 0)}{\hbar(\omega + i\delta) - E_g - E_{\nu}} \psi_{\nu}(\mathbf{r})$$

## Polarización interbanda

$$P_{vc}(\mathbf{r}, \omega) = - \sum_{\nu} \mathcal{E}(\omega) \frac{d_{cv} L^3 \psi_{\nu}^*(\mathbf{r} = 0)}{\hbar(\omega + i\delta) - E_g - E_{\nu}} \psi_{\nu}(\mathbf{r})$$

Transformada de Fourier para volver al dominio  $\mathbf{k}$



$$P_{vc,\mathbf{k}}(\omega) = - \sum_{\nu} \mathcal{E}(\omega) \frac{d_{cv} \psi_{\nu}^*(\mathbf{r} = 0)}{\hbar(\omega + i\delta) - E_g - E_{\nu}} \int d^3 r \psi_{\nu}(\mathbf{r}) e^{i\mathbf{k}\cdot\mathbf{r}}$$


## Polarización interbanda

$$P_{vc,\mathbf{k}}(\omega) = - \sum_{\nu} \mathcal{E}(\omega) \frac{d_{c\nu} \psi_{\nu}^*(\mathbf{r}=0)}{\hbar(\omega + i\delta) - E_g - E_{\nu}} \int d^3r \psi_{\nu}(\mathbf{r}) e^{i\mathbf{k}\cdot\mathbf{r}}$$

Ya podemos calcular la polarización total:

$$P(t) = \sum_{\mathbf{k}} P_{cv,\mathbf{k}}(t) d_{vc} + \text{c.c.} \quad (10.28)$$

Su transformada de Fourier temporal tiene la forma:


$$\begin{aligned} P(\omega) &= \sum_{\mathbf{k}} \int dt (P_{cv,\mathbf{k}}(t) d_{vc} + P_{cv,\mathbf{k}}^*(t) d_{vc}) e^{i\omega t} \\ &= \sum_{\mathbf{k}} (P_{cv,\mathbf{k}}(\omega) d_{vc} + P_{cv,\mathbf{k}}^*(-\omega) d_{vc}) . \end{aligned}$$

## Polarización interbanda

$$P(\omega) = \sum_{\mathbf{k}} (P_{cv,\mathbf{k}}(\omega)d_{vc} + P_{cv,\mathbf{k}}^*(-\omega)d_{vc})$$

$$\mathcal{E}^*(-\omega) = \mathcal{E}(\omega)$$

$$\sum_{\mathbf{k}} \int d^3r \psi_{\nu}(\mathbf{r}) e^{i\mathbf{k}\cdot\mathbf{r}} = 2L^3 \psi_{\nu}(\mathbf{r} = 0)$$

espín



$$P(\omega) = -2L^3 \sum_{\nu} |d_{cv}|^2 |\psi_{\nu}(\mathbf{r} = 0)|^2 \mathcal{E}(\omega) \quad (10.101)$$
$$\times \left[ \frac{1}{\hbar(\omega + i\delta) - E_g - E_{\nu}} - \frac{1}{\hbar(\omega + i\delta) + E_g + E_{\nu}} \right],$$

Susceptibilidad de pares electrón-hueco

# Susceptibilidad de pares electrón-hueco

Recordamos la definición de la susceptibilidad óptica:

$$\chi(\omega) = \frac{\mathcal{P}(\omega)}{\mathcal{E}(\omega)} = \frac{P(\omega)}{L^3 \mathcal{E}(\omega)}$$

$$P(\omega) = -2L^3 \sum_{\nu} |d_{c\nu}|^2 |\psi_{\nu}(\mathbf{r} = 0)|^2 \mathcal{E}(\omega) \quad (10.101)$$
$$\times \left[ \frac{1}{\hbar(\omega + i\delta) - E_g - E_{\nu}} - \frac{1}{\hbar(\omega + i\delta) + E_g + E_{\nu}} \right],$$

# Susceptibilidad de pares electrón-hueco

Suma sobre estados de excitón

Amplitud de que el electrón y el hueco estén en la misma posición

$$\chi(\omega) = -2|d_{cv}|^2 \sum_{\mu} |\psi_{\mu}(\mathbf{r} = \mathbf{0})|^2 \times \left[ \frac{1}{\hbar(\omega + i\delta) - E_g - E_{\mu}} - \frac{1}{\hbar(\omega + i\delta) + E_g + E_{\mu}} \right]$$

Término resonante

No resonante no contribuye a la absorción



# Susceptibilidad de pares electrón-hueco

Ahora hay que especializar:

$$\chi(\omega) = -2|d_{cv}|^2 \sum_{\mu} |\psi_{\mu}(\mathbf{r} = \mathbf{0})|^2 \times \left[ \frac{1}{\hbar(\omega + i\delta) - E_g - E_{\mu}} - \frac{1}{\hbar(\omega + i\delta) + E_g + E_{\mu}} \right]$$

a los casos 3D, 2D, y 1D

# Susceptibilidad de pares electrón-hueco

Coeficiente de absorción:

$$\alpha(\omega) = \alpha_0^{3D} \frac{\hbar\omega}{E_0} \left[ \sum_{n=1}^{\infty} \frac{4\pi}{n^3} \delta\left(\Delta + \frac{1}{n^2}\right) + \Theta(\Delta) \frac{\pi e^{\frac{\pi}{\sqrt{\Delta}}}}{\sinh\left(\frac{\pi}{\sqrt{\Delta}}\right)} \right]$$

Fórmula de Elliot 3D

$$\Delta = (\hbar\omega - E_g)/E_0$$

$$\alpha_0^D = \frac{4\pi^2 |d_{cv}|^2}{\hbar n_b c} \frac{1}{(2\pi a_0)^D} \Omega_D \frac{1}{L_c^{3-D}} \quad (5.81)$$

$$\alpha(\omega) = \alpha_0^D \frac{\hbar\omega}{E_0} \left( \frac{\hbar\omega - E_g - E_0^{(D)}}{E_0} \right)^{\frac{D-2}{2}} \Theta(\hbar\omega - E_g - E_0^{(D)}) A(\omega) , \quad (5.80)$$

absorption coefficient for free carriers

# Espectro de absorción de partícula libre

Espectro de absorción en el borde de banda (band edge) sin interacción e-e

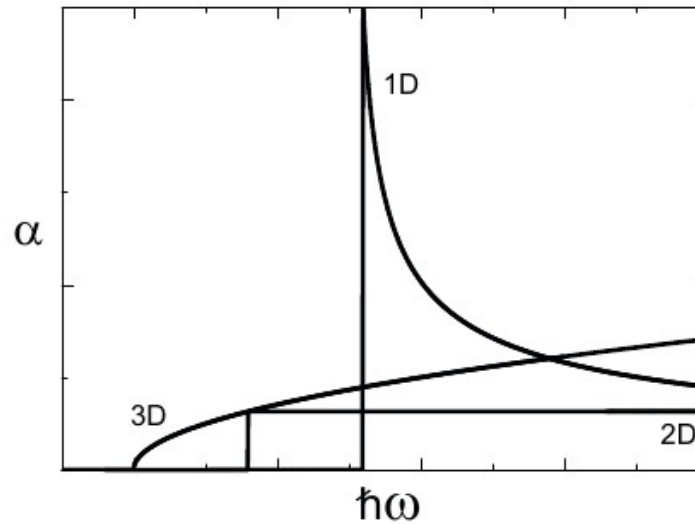


Fig. 5.3 Free electron absorption spectra for semiconductors, where the electrons can move freely in one, two, or three space dimensions.

# Espectro de absorción de pares partícula-hueco

Espectro de absorción en el borde de banda (band edge) con interacción e-e

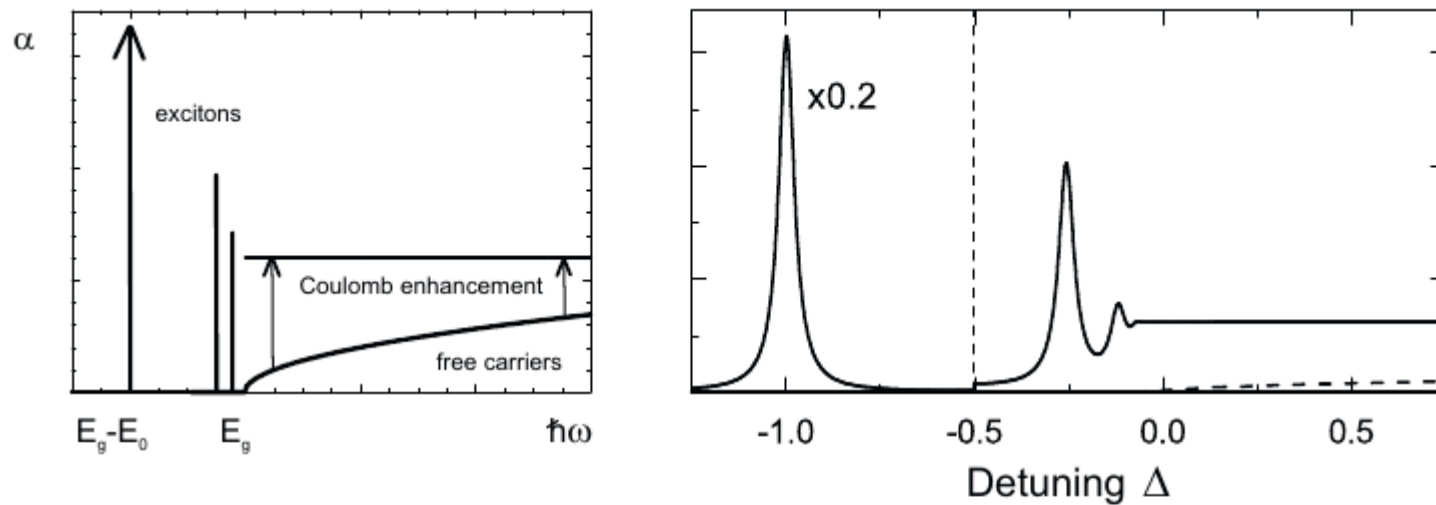


Fig. 10.2 Schematic (left figure) and calculated (right figure) band edge absorption spectrum for a 3D semiconductor. Shown are the results obtained with and without including the Coulomb interaction. The 1s-exciton part of the computed absorption spectra has been scaled by a factor of 0.2 .

# Espectro de absorción de pares partícula-hueco

Espectro de absorción en el borde de banda (band edge) con interacción e-e

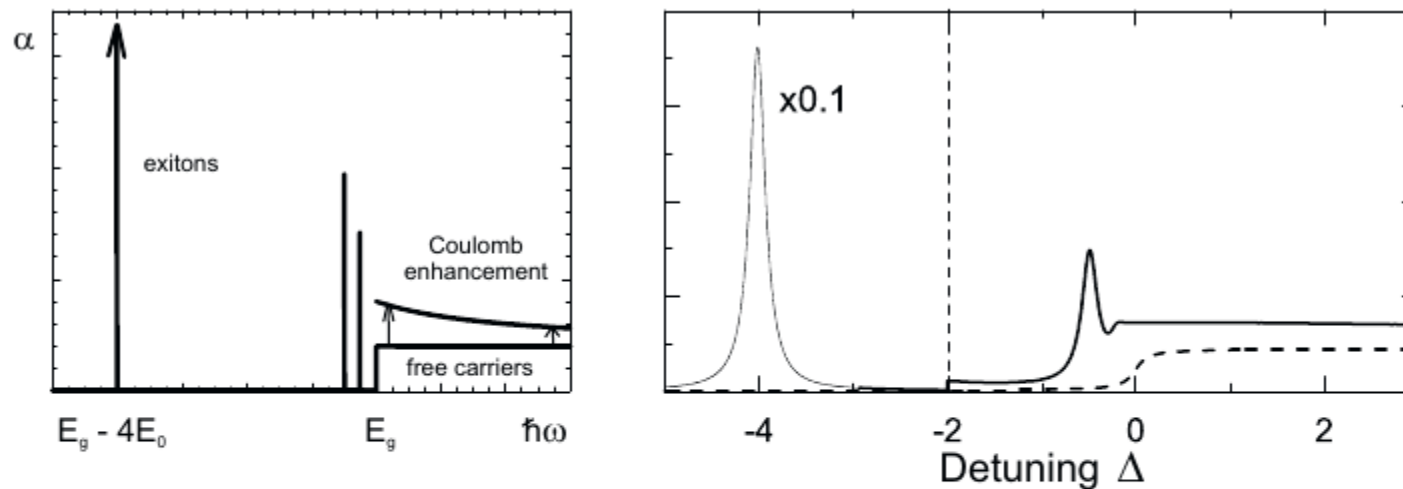


Fig. 10.3 Schematic (left figure) and calculated (right figure) band edge absorption spectrum for a  $2D$  semiconductor. Shown are the results obtained with and without including the Coulomb interaction. The 1s-exciton part of the computed absorption spectra has been scaled by a factor of 0.1 .

## Resumen de la clase 23

- Cálculo de la polarización interbanda en el problema de excitación óptica de pares electrón-hueco.
- Susceptibilidad óptica electrón-hueco.
- Coeficiente de absorción.
- Espectros de absorción en el borde la banda (bandedge absorption spectrum).